Synthèse et activité radioprotectrice de nouveaux trithiagermatranes, trithiasilatranes, oxyde et sulfure germaniés à substituant chlorhydrate de cystéamine et N(2-thioéthyl)-1,3-diaminopropane

G Rima¹, J Satgé¹, M Fatome², JD Laval², H Sentenac-Roumanou³, C Lion⁴, M Lazraq¹

¹Laboratoire de Chimie des Organominéraux, URA 477 du CNRS, Université Paul Sabatier, 118, route de Narbonne, 31062 Toulouse Cedex; ²Unité de Radioprotection, Centre de Recherches du Service de Santé des Armées, Grenoble 24, avenue des Maquis du Grésivaudan, 38702 La Tronche Cedex; ³Direction des Recherches Études et Techniques, 26, bd Victor, 00460 Armées; ⁴Institut de Topologie et de Dynamique des Systèmes de l'Université de Paris VII, Associé au CNRS, 1, rue Guy-de-la-Brosse, 75005 Paris, France

(Reçu le 11 juin 1990; accepté le 23 octobre 1990)

Résumé — De nouvelles structures organogermaniées et siliciées des types: trithiagermatranes ou trithiasilatranes, bicyclodithiazagermolidines et 6-aza, 1,3-dithia, 2-germaperhydrocines à ligands chlorhydrates de cystéamine et de N(2-thioéthyl)-1,3-diaminopropane et oxyde ou sulfure de germanium à substituant chlorhydrate de N(2-thioéthyl)-1,3-diaminopropane ont été synthétisées. Leur toxicité aiguë et leur activité radioprotectrice ont été déterminées.

Summary — Syntheses and radioprotective activities of trithiagermatranes, trithiasilatranes, germylated oxide and sulfide with cysteamine and N-(2-thioethyl)-1,3-diaminopropane chlorhydrate ligands. New organotrithiagermatranes, trithiasilatranes, bicyclodithiazagermolidines and 6-aza-1,3-dithia 2-germaperhydrocine with cysteamine and N-(2-thioethyl)-1,3-diaminopropane chlorhydrate ligands and germylated oxide and sulfide with N-(2-thioethyl)-1,3-diaminopropane chlorhydrate ligands were synthesized. Their toxicities and radioprotective activities were determined.

trithiagermatranes / trithiasilatranes / bicyclodithiazagermolidines / radioprotective activity

Introduction

Nous avons présenté dans une publication récente [1], une étude sur l'activité radioprotectrice de germatranes et silatranes, oxydes et sulfures germaniés à ligand chlorhydrate de cystéamine, méthylcystéamine et N(2-thioéthyl)-1,3-diaminopropane. Nous présentons dans ce travail, une étude sur leurs analogues soufrés: synthèse, toxicité et pouvoir radioprotecteur de nouveaux dérivés de type:

Trithiagermatranes et trithiasilatranes

$$Y \cdot HNCH_2CH_2SM(SCH_2CH_2)_3N \cdot HCl$$

 $(Y = HCl \cdot H, 2HCl \cdot H_2N(CH_2)_3; M = Ge, Si)$

2-Organo 1,3-dithia 6-aza 2-germa [3.3.0]bicyclo

6-Aza 1,3-dithia 2-germaperhydrocine

 $(Y)_2Ge(SCH_2CH_2)_2NH \cdot X$ $Y = HCl \cdot H_2NCH_2CH_2S Y = 2HCl \cdot H_2NCH_2CH_2CH_2NH(CH_2)_2S -$ X = -X = HCl

Oxyde et sulfure germanié

 $(R_2GeX)_3$ $R = 2HCl \cdot H_2N(CH_2)_3NHCH_2CH_2S$ X = O, S

Synthèse

Synthèse des trithiagermatranes et trithiasilatranes

De nouveaux trithiagermatranes à substituant R = -SCH₂CH₂NH₂•HCl, -S(CH₂)₂NH(CH₂)₃NH₂•2HCl ont été synthétisés par 2 méthodes générales et

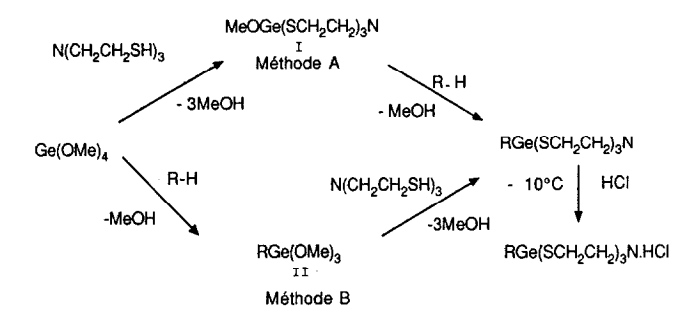
analogues à celles décrites pour les germatranes [2–9] à partir de Ge(OMe)₄ [10] en solution dans le tétrahy-drofuranne (THF) ou le benzène anhydre.

Méthode A

Par réaction de transalcoxylation entre Ge(OMe)₄ et la tris(2-mercaptoéthyl)amine en quantité stoechiométrique. Le produit intermédiaire I, isolé pur est traité par les chlorhydrates de cystéamine ou N(2-thioétthyl)-1,3-diaminopropane pour conduire par clivage de la liaison Ge-OMe aux trithiagermatranes 1 et 2.

Méthode B

Par clivage préalable d'une liaison M-OMe de Ge(OMe)₄ par la quantité stoechiométrique des chlorhydrates cités ci-dessus, suivi d'une réaction de transalcoxylation entre les dérivés de type II et la tris(2-mercaptoéthyl)amine.



La synthèse des trithiasilatranes a mis à profit la grande sensibilité des liaisons Si-N vis-à-vis de réactifs protoniques [11] comme les groupements SH.

L'action de la tris(2-mercaptoéthyl)amine sur le tétra(diéthylamino) silane en quantité stoechiométrique dans le THF anhydre conduit à l'intermédiaire Et₂NSi(SCH₂CH₂)₃N. Ce dérivé est traité par les chlorhydrates de cystéamine ou N(2-thioéthyl)-1,3-diaminopropane en quantité stoechiométrique pour conduire par clivage de la liaison Si-N aux trithiasilatranes 3 et 4.

$$Si(NEt_2)_4 + (HSCH_2CH_2)_3N \longrightarrow Et_2NSi(SCH_2CH_2)_3N$$

$$\downarrow RH$$

$$RSi(SCH_2CH_2)_3N + Et_2NH$$

$$-10 ° C \downarrow HCI$$

$$R-Si(SCH_2CH_2)_3N.HCI$$

 $R = -SCH_2CH_2NH_2.HCI_1 -SCH_2CH_2NH(CH_2)_3NH_2.2HCI_2$

Les trithiagermatranes 1, 2 et les trithiasilatranes 3, 4 ont été isolés avec des rendements variant de 55 à 74% (tableau IV).

Synthèse du bicyclodithiazagermolidine

Par action de la bis(2-mercaptoéthyl)amine sur Ge(OMe)₄ en quantité stoechiométrique dans le THF

anhydre, le dérivé MeOGe(SCH_2CH_2)₂N a été isolé avec de hauts rendements. L'action des chlorhydrates de cystéamine ou N(2-thioéthyl)-1,3-diaminopropane

sur MeOGe(SCH₂CH₂)₂N en quantité stoechiométrique conduit aux dérivés **5** et **6**.

Synthèse de dithiazagermaperhydrocine

L'action de deux moles de chlorhydrate de cystéamine ou N(2-thioéthyl)-1,3-diaminopropane sur $Ge(OMe)_4$ dans le THF anhydre conduit aux diméthoxygermanes $R_2Ge(OMe)_2$ ($R = SCH_2CH_2NH \cdot HCl$, - $SCH_2CH_2NH \cdot (CH_2)_2 \ NH_2 \cdot 2HCl$) qui ont été isolés avec de hauts rendements. L'action de la bis(2-mercaptoéthyl)amine sur $R_2Ge(OMe)_2$ en quantité stoechiométrique dans le THF anhydre conduit aux dérivés $\mathbf{7}$ et $\mathbf{8}$ (tabl IV).

Signalons que la tris(2-mercaptoéthyl)amine N (CH₂CH₂SH)₂ 11 et la bis(2-mercaptoéthyl)amine, NH(CH₂CH₂SH)₂ 12 ont été synthétisées par une nouvelle méthode selon l'équation ci-dessous (*cf* partie expérimentale).

Synthèse d'oxyde et sulfure germaniés à substituant chlorhydrate de N(2-thioéthyl)-1,3-diaminopropane

Oxyde germanié 9

L'action de deux moles de chlorhydrate de N(2-thio-éthyl)-1,3-diaminopropane sur Ge(OMe)₄ dans le THF anhydre conduit au dérivé (2HCl·H₂N(CH₂)₃ NHCH₂CH₂S)₂Ge(OMe)₂ isolé avec un bon rendement. L'hydrolyse de ce dernier en suspension dans l'éther, par action de l'eau, conduit à l'oxyde germanié correspondant.

Sulfure germanié 10

Sulfure germanié 10

L'action de NaSH sur le diméthoxygermane (2HCl• H₂N(CH₂)₃NHCH₂CH₂S)₂Ge(OMe)₂ dans le THF anhydre conduit au sulfure germanié trimère [(2HCl• H₂NCH₂CH₂CH₂NHCH₂CH₂S)₂GeS]₃.

 $\textbf{Tableau I. } Y \boldsymbol{\cdot} HNCH_2CH_2SM(SCH_2CH_2)_3N \boldsymbol{\cdot} HCl.$

N°	Y	М	DL ₅₀ mg/kg (mmol)	Dose injectée	Irradiation Gy(t*, mn)	Taux de survie	FRD
1	НСІ•Н	Ge	500	250	9(15)	70	
			(1,46)	62,5	9(15)	20	1,35
				250	9(120)	10	
				250	11(15)	20	
2	$2HCl \cdot H_2N(CH_2)_3$	Ge	150	75	9(15)	50	
			(0,29)	18,7	9(15)	0	1,2
				75	9(120)	0	
				75	11(15)	0	
3	HCl∙H	Si	800	400	9(15)	90	
			(2,15)	200	9(15)	10	1,4
				400	9(120)	20	
				400	11(15)	40	
4	$2HCl\cdot H_2N(CH_2)_3$	Si	300	150	9(15)	90	
			(0,64)	75	9(15)	30	1,35
				150	9(120)	0	
				150	11(15)	30	

Tableau II. Y-HNCH₂CH₂SGe(SCH₂CH₂)₂N-HCl.

N°	Y	DL ₅₀ mg/kg (mmol)	Dose injectée	Irradiation Gy(t* mn)	Taux de survie	FRD
5	НСІ∙Н	350	175	9(15)	30	1,1
		(0.98)	43,7	9(15)	0	
			175	9(120)	0	
			175	11(15)	0	
6	$2HCl\cdot H_2N(CH_2)_3$	50	25	9(15)	10	1
		(0,11)	6,25	9(15)	10	
			25	9(120)	10	
			25	11(15)	10	
	R ₂ Ge(SCH ₂ CH ₂)NH	200	100	9(15)	70	
		(0,46)	25	9(15)	0	1,25
	$R = HCl \cdot H_2NCH_2CH_2S$		100	9(120)	0	
			100	11(15)	0	
8	R ₂ Ge(SCH ₂ CH ₂) ₂ NH•HCl	250	125	9(15)	50	
		(0,38)	31,2	9(15)	0	1,2
	$R = 2HCl \cdot H_2N(CH_2)_3NH =$		125	9(120)	0	
$(CH_2)_2S$	(CH ₂) ₂ S		125	11(15)	0	

Tableau III. [(2HCl·H₂N(CH₂)₃NHCH₂CH₂S)₂GeX]₃.

N°	X	DL ₅₀ mg/kg (mmol)	Dose injectée	Irradiation Gy(t* mn)	Taux de survie	FRD
9	О	200	100	9(15)	70	
		(0,13)	50	9(15)	0	1,3
			100	9(120)	0	
			100	11(15)	20	
10	S	300	150	9(15)	30	
		(0,19)	75	9(15)	0	1,1
			150	9(120)	0	
			150	11(15)	0	
11	HCl•N(CH ₂ CH ₂ SH) ₃	150	75	9(15)	70	
		(0,64)	18,7	9(15)	10	1,25
			75	9(120)	10	
			75	11(15)	0	
12	HCl•HN(CH ₂ CH ₂ SH) ₂	50	25	9(15)	0	
		(0,28)	6,25	9(15)	10	1
			25	9(120)	0	
			25	11(15)	0	

Résultats et Discussion

Plusieurs des composés étudiés ont montré une activité radioprotectrice significative, ceci dans la mesure où l'injection était faite à forte dose et peu de temps avant l'irradiation.

Le trithiagermatrane à ligand chlorhydrate de cystéamine (1) a été à peine plus efficace que la tris(2-mercaptoéthyl)amine (11) et a présenté une toxicité inférieure (DL $_{50}$ égale à 1,46 mmol•kg $^{-1}$ au lieu de 0,64 mmol•kg $^{-1}$).Le trithiagermatrane à ligand chlorhydrate de N-(2-thioéthyl)-1,3-diaminopropane a été peu actif avec une toxicité nettement supérieure (DL $_{50}$ égale à 0,29 mmol•kg $^{-1}$).

Parmi les trithiasilatranes, le composé 3 a présenté une activité comparable à celle du trithiagermatrane correspondant (1). Le composé 4 a été, en revanche, plus actif que le composé 2. Leur toxicité exprimée en mmol•kg-1 est inférieure à celle de leurs homologues germaniés. Il est à noter que celle du composé 4 est comparable à celle de la tris(2-mercaptoéthyl)amine (11).

L'introduction du ligand chlorhydrate de *N*-(2-thioéthyl)-1,3-diaminopropane conduit à une augmentation de la toxicité ainsi qu'à une tendance à la diminution de l'effet radioprotecteur. Il faut toutefois noter que cette tendance doit être liée à la diminution

notable de la dose injectée et qu'en réalité ces composés semblent potentiellement plus actifs que leurs analogues à ligand chlorhydrate de cystéamine pour lesquels l'effet à faible dose injectée est nul ou négligeable.

Cette augmentation de toxicité induite par ce ligand se retrouve avec les bicyclodithiazagermolidines (5 et 6) et à un moindre degré avec les 6-aza 1,3-dithio 2-germaperhydrocines (7 et 8). Ces 2 derniers composés sont par ailleurs légèrement moins toxiques ($DL_{50} = 0,46$ et 0,38 mmol•kg⁻¹) et légèrement plus actifs que la bis(2-mercaptoéthyl)amine (12), $DL_{50} = 0,28$ mmol•kg⁻¹, dénué d'activité radioprotectrice.

L'oxyde germanié à substituant chlorhydrate de *N*-(2-thioéthyl)-1,3-diaminopropane (9) bien qu'étant plus toxique que le sulfure correspondant (10) s'est montré plus actif. Aucune explication ne peut en être actuellement donnée.

Comme cela avait été constaté avec les germa- et silathiazolidines ou comme avec les germatranes et les silatranes déjà étudiés [1, 12], il existe une influence favorable du germanium et du silicium sur l'activité radioprotectrice. Les dérivés siliciés sont généralement un peu moins toxiques que les dérivés germaniés. L'action radioprotectrice qui était légèrement supérieure avec les dérivés germaniés en série thiazolidine est ici supérieure avec les dérivés siliciés. Par

Tableau IV.

Composés	RMN ¹H, δ ppm Analyse	Rdt	
1) HCI.H ₂ NCH ₂ CH ₂ SG ₈ (SCH ₂ CH ₂) ₃ N.HCI	6NCH ₂ et 5CH ₂ S entre 2,51-3,5 (m,16 H) (D ₂ O + TMS ext)	71 %	
	C ₈ H ₁₈ N ₂ S ₄ Ge :		
	Calc. %: C 28,02; H 5,29; N 8,17 Tr. 28,62; 5,38; 8,82		
2) R-Ge(SCH ₂ CH ₂) ₃ N.HCI R=2HCI.H ₂ N(CH ₂) ₃ NHCH ₂ CH ₂ S	6CH ₂ CH ₂ CH ₂ =1,69 (q,2H) (D ₂ O +TMS ext)	74 %	
	6NCH2 et 6CH2S entre 2,05-3,42	(m,20H)	
	C ₁₁ H ₂₈ N ₃ Cl ₃ GeS ₄ :		
	Calc. %: C 25,93; H 5,54; N 8,24 26,00 5,62 8,33		
3) HCI.H ₂ N(CH ₂) ₂ SSi(SCH ₂ CH ₂) ₃ N.HCI	(D ₂ O + TMS ext) 5SCH ₂ et 5CH ₂ N entre 2,4 -3,36(m)	55 %	
	C ₈ H ₂₀ Cl ₂ N ₂ S ₄ Si :		
	Calc. %: C 25,87; H 5,43; N 7,54 Tr.: 25,28; 5,36; 7,43		
4) R-Si(SCH ₂ CH ₂) ₃ N.HCI R=2HCI.H ₂ N(CH ₂) ₃ NHCH ₂ CH ₂ S	6CH ₂ CH ₂ CH ₂ = 1,70 (q, 2 H) 68 6NCH ₂ et 6CH ₂ S entre 2,75-3,98(m,201 (D ₂ O + TMS ext)		
	C ₁₁ H ₂₈ Cl ₃ N ₃ S ₄ Si:		
	Calc. %: C 28,41; H 6,07; N 9,03 Tr. 28,83; 6,19; 9,74		
5) HCI.H ₂ NCH ₂ CH ₂ SGe(SCH ₂ CH ₂) ₂ N.HCl	5NCH ₂ et 5CH ₂ S entre 2,13-3,10((DMSO + TMS ext)	m,12H) 84%	
	C ₆ H ₁₆ N ₂ Cl ₂ S ₃ Ge:		
	Calc. %: C 20,25; H 4,53; N 7,87 Tr.: 20,07; 4,48; 7,76		
6) R-Ge (SCH ₂ CH ₂) ₂ N.HCI	5CH ₂ CH ₂ CH ₂ = 2,00 (q, 2 H) 5NCH ₂ et 5CH ₂ S entre 2,56 - 3,40	79 % (m,16H)	
R=2HCI.H2N(CH2)3NH(CH2)2S	(D ₂ 0 + TMS ext)		
	C ₉ H ₂₄ N ₃ S ₃ Cl ₃ Ge :		
	Calc. %: C 24,05; H 5,38; N 9,34 Tr. 24,72; 5,88 9,54		
7) (HCI.H2NCH2CH2S)2Ge(SCH2CH2)2NH	6NCH ₂ et 6CH ₂ S entre 2,46 -3,47	(m,16H)	
	(D ₂ O + TMS ext)	81 %	
	C ₈ H ₂₃ N ₃ Cl ₂ S ₄ Ge :		
	Calc. %: C 22,19; H 5,35; N 9,70 Tr.: 22,67; 5,48; 9,98		
8) R ₂ Ge(SCH ₂ CH ₂) ₂ NH.HCI R=2HCl.H ₂ N(CH ₂) ₃ NHCH ₂ CH ₂ S	6CH ₂ CH ₂ CH ₂ = 1,89 (q, 4 H) 6SCH ₂ et 6CH ₂ N entre 2,49-3,39 (D ₂ O + TMS ext)	76 % (m,24H)	
	C ₁₄ H ₄₀ N ₅ S ₄ Cl ₅ Ge :		
	Calc. %: C 25,61; H 6,14; N 10,66 Tr. 25,91; 6,28; 11,0		
9) [(2HCl.H ₂ N(CH ₂) ₃ NHCH ₂ CH ₂ S) ₂ GeO] ₃	5CH ₂ CH ₂ CH ₂ = 1,83 (q, 14 H) 5SCH ₂ et 5CH ₂ N entre 2,16-3,40 (DMSO + TMS ext)	66 % m,48H)	
	$C_{30}H_{90}N_{12}CI_{12}S_6Ge_30_3$:		
	Calc. %: C 23,97; H 6,03; N 11,1 Tr. 24,60; 6,06; 11,4	8;03,19 4 ; 3,2	

Tableau IV. Suite.

Composés	RMN 1 H, δ ppm Rdt Analyse			
10) [(2HCI.H ₂ N(CH ₂) ₃ NH(CH ₂) ₂ S) ₂ GeS] ₃	5CH ₂ CH ₂ CH ₂ = 1,90 (q, 12 H) 70 % 5SCH ₂ et 5CH ₂ N entre 2,52-3,41(m,48H) (D ₂ O + TMS ext)			
	C ₃₀ H ₉₀ N ₁₂ S ₉ Cl ₁₂ Ge ₃ :			
	Calc. %: C 23,23; H 5,85; N 10,83 Tr. 23,65; 5,99; 11,05			
11)HCI.N(CH ₂ CH ₂ SH) ₃	5NCH ₂ et 5CH ₂ S entre 2,67-3,33 (m,12H) (D ₂ O + TMS ext)			
12) HCI.NH(CH ₂ CH ₂ SH) ₃	6 NCH $_2$ et 6 CH $_2$ S entre 2,71-3,64 100 % (m, 8 H) (0 2O + TMS ext).			

rapport au carbone, l'électronégativité plus faible du silicium et du germanium, leur rayon de covalence plus grand et la présence d'orbitales d vacantes peuvent entraîner une diminution des lésions radiochimiques engendrées par les radicaux libres. De plus, l'accroissement de solubilité permet une meilleure pénétration intracellulaire et ainsi une meilleure efficacité d'action.

Protocoles expérimentaux

Chimie

Les synthèses de ces composés organométalliques à substituant chlorhydrate de cystéamine ou de N(2-thioéthyl)-1,3-diamino-propane ont été effectuées sous atmosphère contrôlée (rampe à vide sous argon).

Les spectres de RMN ¹H ont été enregistrés sur spectromètre Varian EM 360 ou Bruker AC 80. Toutes les valeurs des déplacements chimiques sont données par rapport au tétraméthylsilane (TMS) pris comme référence. Les analyses élémentaires (C, H, N, O) ont été effectuées à l'Ecole Nationale Supérieure de Chimie de Toulouse.

Les trithiagermatranes sont préparés par deux méthodes différentes.

Méthode A:

Synthèse de HCl·H₂NCH₂CH₂SGe(SCH₂CH₂)₃N·HCl (1) MeOGe(SCH₂CH₂)₃N. 2,50 g (12,69 mmol) de tris(2-mercaptoéthyl)amine fraîchement distillé en solution dans 30 ml de benzène anhydre sont ajoutés goutte à goutte sous agitation 2,49 g (12,69 mmol) de Ge(OMe)₄ [10] en solution dans 15 ml de benzène anhydre. L'addition terminée, le mélange réactionnel est porté au reflux pendant 4 h. Le solvant est chassé sous pression réduite, le résidu est repris par 50 ml de pentane anhydre et filtré. On recueille 3,66 g de MeOGe(SCH₂CH₂)₃N (Rdt: 97%). F = 192–195°C. RMN ¹H (C₆D₆): δ OMe = 3,77 ppm (s, 3H). δ NCH₂ et δ CH₂S entre 2,29–2,68 ppm (m, 12 H).

HCl·H₂NCH₂CH₂SGe(SCH₂CH₂)₃N. Un mélange de 2,1 g (7,05 mmol) de MeOGe(SCH₂CH₂)₃N et 0,80 g (7,05 mmol) de chlorhydrate de cystéamine HCl·H₂NCH₂CH₂SH dans 70 ml de THF anhydre est porté au reflux pendant 5 h et sous agitation. La solution est filtrée sous argon puis le précipité est lavé par trois fois 100 ml de pentane anhydre, le produit est séché sous vide poussé pendant 1 h.

séché sous vide poussé pendant 1 h.
On obtient 1,9 g de HCl·H₂NCH₂CH₂SGe(SCH₂CH₂)₃N

(solide jaune, Rdt: 71%).

Méthode B

À 2 g (7,19 mmol) de HCl·H₂NCH₂CH₂SGe(OMe)₃ [1] dans 50 ml de THF anhydre est ajoutée goutte à goutte et sous agitation une solution de 1,41 g (7,19 mmol) de tris(2-mercaptoéthyl)amine fraîchement distillée dans 10 ml de THF. L'addition terminée, le mélange réactionnel est porté au reflux pendant 5 h. Après retour à la température ambiante, la solution est filtrée, puis le précipité est lavé avec 50 ml de pentane puis séché sous vide poussé. On recueille 1,85 g de HCl·H₂NCH₂ CH₂SGe(SCH₂CH₂)₃N (Rdt: 68%).

Synthèse de $HCl \cdot H_2NCH_2CH_2SSi(SCH_2CH_2)_3N \cdot HCl$ (3)

Et₂NSi(SCH₂CH₂)₃N. Å une solution de 4 g (20 mmol) de N(CH₂CH₂SH)₃ dans 70 ml de THF anhydre et sous agitation, on ajoute goutte à goutte une solution de 6,41 g (20 mmol). Le mélange réactionnel est porté au reflux pendant 3 h. Après retour à la température ambiante, le solvant est éliminé sous vide puis le résidu est repris par 50 ml de pentane anhydre et filtré. On obtient 4,1 g de Et₂NSi(SCH₂CH₂)₃N (cristaux blancs, Rdt: 68%). RMN ¹H (C₆D₆): δ CH₃ = 1,13 ppm (t, 6H), δ CH₂-CH₃ = 2,98 ppm (q, 4 H), δ CH₂S et δ CH₂N: 2,34–2,70 ppm (m, 12H).

À une solution de 2,1 g (7,14 mmol) de Et₂NSi (SCH₂CH₂)₃N obtenu précédemment dans 80 ml de THF anhydre, on ajoute 0,81 g (7,14 mmol) de HCl·H₂NCH₂ CH₂SH. Le mélange réactionnel est porté au reflux pendant 5 h et sous agitation. La solution est filtrée, le précipité est lavé avec 100 ml de pentane anhydre puis séché sous vide poussé pendant 1 h. On recueille 1,64 g de HCl·H₂NCH₂CH₂SSi

(SCH₂CH₂)₃N.

Synthèse de R- $M(SCH_2CH_2)_2N$ -HCl. Cas du M = Ge; $R = -SCH_2CH_2NH_2$ -HCl. À une suspension, agitée à -10° C, de 1,9 g (5,01 mmol) de HCl- $H_2NCH_2CH_2S$ - $Ge(SCH_2CH_2)_3N$ dans 100 ml de THF, on ajoute goutte à goutte et en quantité stoechiomérique, 30 ml d'une solution d'HCl (0,42 ml HCl conc dans 30 ml d'eau). Après 15 min d'agitation, le solvant est éliminé sous vide poussé. Le résidu est repris par 100 ml de THF en le laissant une nuit sous agitation. Après filtration, le précipité est lavé avec 50 ml de pentane puis séché sous vide poussé. On obtient 2,08 g (Rdt quantitatif) de HCl- $H_2NCH_2CH_2SGe(SCH_2CH_2)_3N$ -HCl.

Les autres dérivés 2, 3 et 4 ont été synthétisés selon le même protocole expérimental.

Synthèse de HCl·H₂NCH₂CH₂SGe(SCH₂CH₂)₂N·HCl (5)

MeOGe(SCH₂CH₂)₂N. À 3,52 g (25,7 mmol) de HN(CH₂CH₂ SH)₂ fraîchement distillé en solution dans 30 ml de benzène anhydre sont ajoutés goutte à goutte et sous agitation 5,05 g (25,7 mmol) de Ge(OMe)₄. Le mélange réactionnel est porté au reflux pendant 8 h. La solution est filtrée après retour à la température ambiante, le précipité est lavé avec 50 ml de pentane anhydre puis séché sous vide. On obtient 5,43 g de

MeOGe(SCH₂CH₂)₂N (Rdt: 89%). RMN 1 H (C₆H₆): δ CH₂N et δ CH₂S entre: 2,17–2,63 ppm (m, 8H), δ CH₃O = 3,75 ppm (s, 3H).

À 2,63 g (11,07 mmol) de MeOGe(SCH₂CH₂)₂N en solution dans 70 ml de THF anhydre, on ajoute 1,25 g (11,07 mmol) de HCl•H₂NCH₂CH₂SH. Le mélange est porté au reflux pendant 5 h sous agitation. Un précipité réapparaît après retour à la température ambiante, il est récupéré par filtration et lavé avec 50 ml de pentane anhydre puis séché sous vide poussé. On

recueille 3,3 g de HCl·H₂NCH₂CH₂)SGe(SCH₂CH₂)₂N (solide blanc Rdt: 84%).

À ce dernier dérivé en suspension dans 100 ml de THF sont ajoutés à – 10°C, 30 ml d'une solution d'acide chlorhydrique (0,77 ml HCl conc dans 30 ml d'eau), nous avons isolé le dérivé 5 selon le même protocole expérimental que les dérivés 1, 2, 3 et 4. Le protocole expérimental du dérivé 6 est identique au dérivé 5.

Synthèse de (HCl·H₂NCH₂CH₂S)₂Ge(SCH₂CH₂)₂NH (7) À une suspension de 2,8 g (7,78 mmol) de (HCl·H₂NCH₂ CH₂S)₂Ge(OMe)₂ (1) dans 70 ml de THF anhydre, on ajoute goutte à goutte et sous agitation 1,07 g (7,81 mmol) de HN (CH₂CH₂SH)₂ en solution dans 10 ml de THF anhydre. Le mélange est porté au reflux pendant 17 h, après retour à la température ambiante. La solution est filtrée, le précipité est lavé avec 50 ml de pentane puis séchée sous vide poussé. On obtient 2,73 g de (HCl·H₂NCH₂CH₂S)₂Ge(SCH₂CH₂)₂NH (solide blanc, Rdt: 81%).

Synthèse de

(2HCl·H₂NCH₂CH₂CH₂NHCH₂CH₂S)₂Ge(SCH₂CH₂)₂NH·HCl

 $(2HCl \cdot H_2NCH_2CH_2CH_2NHCH_2CH_2S)_2Ge(OMe)_2$. À une suspension de 2,3 g (4,2 mmol) de 2HCl·H₂NCH₂CH₂ CH₂NHCH₂CH₂SH dans 70 ml de THF anhydre sont ajoutés goutte à goutte et sous agitation 0,41 g (2,1 mmol) de Ge(OMe)₄ fraichement distillé. Le mélange réactionnel est porté au reflux pendant 12 h. Après retour à la température ambiante, la solution est filtrée, le précipité est lavé avec 100 ml de pentane anhydre puis séché sous vide poussé. On obtient 2,61 g de (2HCl·H₂N(CH₂)₃NHCH₂CH₂S)₂Ge(OMe)₂ (solide blanc, Rdt: 86%). RMN ¹H (D₂O + TMS ext): δ CH₃O = 3,65 ppm (s, 6H), δ CH₂CH₂CH₂ = 2,23 ppm (q, 4H), δ CH₂N et δ CH₂S entre 2,93–3,57 ppm (m, 16H). 0,69 g (4,39 mmol) de HN(CH₂CH₂SH)₂ est ajouté sous agitation à une suspension de 2,4 g (4,39 mmol) de (2HCl- H_2N (CH₂)₃NHCH₂CH₂S)₂Ge(OMe)₂ dans 50 ml de THF anhydre. Le mélange réactionnel est porté au reflux pendant 24 h. La solution est filtrée puis lavée avec 100 ml de pentane anhydre. Le précipité est séché sous vide poussé. On recueille 2,07 g de (2HCl-H₂N(CH₂)₃NHCH₂CH₂S)₂Ge(SCH₂CH₂)₂NH(Rdt: 76%).

Le dérivé (2HCl·H₂N(CH₂)₃NHCH₂CH₂S)₂Ge(SCH₂CH₂)₂ NH a été traité par l'acide chlorhydrique de la même façon que les dérivés 1, 2, 3, 4, 5 et 6 pour conduire au dérivé 8.

Synthèse de [(2HCl·H₂NCH₂CH₂CH₂NHCH₂CH₂S)₂GeO]₃ (9) A une suspension de 4 g (7,37 mmol) de [2HCl·H₂N (CH₂)₃NHCH₂CH₂S]₂Ge(OMe)₂ dans 60 ml d'éther, on ajoute sous agitation 2 g d'eau. Le mélange est abandonné 15 min sous agitation après élimination de THF et l'eau en excès sous pression réduite, le résidu réactionnel est repris par 100 ml de THF, la solution est abandonnée une nuit sous agitation.

 $CH_2CH_2NHCH_2CH_2S)_2GeO]_3$ (Rdt: 66%).

Synthèse de [(2HCl·H₂NCH₂CH₂CH₂NHCH₂CH₂S)₂GeS]₃ (10) À une suspension de 3 g (5,52 mmol) de [2HCl·H₂NCH₂CH₂CH₂NH(CH₂)₂S]₂Ge(OMe)₂ dans 80 ml de THF anhydre sont ajoutés sous agitation 0,62 g (11,06 mmol) de NaSH. Le mélange est porté au reflux pendant 6 h. Après élimination du solvant sous vide, le résidu est repris par 50 ml de méthanol anhydre, le mélange est abandonné 2 h sous agitation, le précipité est récupéré par filtration et lavé avec 50 ml de pentane anhydre puis séché sous vide poussé. On récupère 2 g de [(2HCl·H₂NCH₂CH₂CH₂NHCH₂CH₂S)₂GeS]₃ (solide jaune, Rdt: 70%).

Synthèse de $HCl\cdot HN(CH_2CH_2SH)_2$ et $HCl\cdot N(CH_2CH_2SH)_3$ $NH(CH_2CH_2SH)_2$. À 10 g (0,13 mol) de cystéamine en solution dans 30 ml de toluène anhydre, on ajoute goutte à goutte et sous agitation une solution de 11,7 g (0,19 mol) de thiiranne dans 20 ml de toluène anhydre. La solution est portée au reflux pendant 24 h. Après élimination du solvant par évaporation, la distillation conduit à 14,8 g de $HN(CH_2CH_2SH)_2$ (Rdt: 83%). Eb: $110-111^{\circ}C/10$ mm Hg. RMN $^{1}H(C_6H_6)$: δ CH_2N et δ CH_2S entre: 2,32–2,74 ppm (m, 8 H), δ HN et δ SH: 1,37 ppm (s, 3 H)

 $N(CH_2CH_2SH)_3$. On ajoute goutte à goutte 93,5 g (1,56 mol) de thiiranne à une solution de 20 g (0,26 mol) de cystéamine dans 100 ml de toluène anhydre, la solution est portée au reflux et sous agitation pendant 36 h. Le solvant est éliminé sous pression réduite. La distillation du résidu réactionnel conduit à 18,4 g de $N(CH_2CH_2SH)_3$ (Rdt: 72%). Eb: 150–151/10 mm Hg. RMN 1 H (C_6H_6): δ CH $_2$ N et δ CH $_2$ S entre: 2,15–2,78 ppm (m, 12 H), δ SH = 1,35 ppm (s, 3 H).

Les chlorhydrates de la tris(2-mercaptoéthyl)amine et bis(2-mercaptoéthyl)amine ont été synthétisés selon le même protocole expérimental que les dérivés 1, 2, 3, 4, etc.

Les constantes physico-chimiques des dérivés synthétisés sont rapportés dans le tableau IV.

Pharmacologie

Les animaux utilisés pour cette étude ont été des souris mâles CDI de Charles River France de 3 mois et pesant 30 g en moyenne.

L'irradiation a été délivrée avec une source de cobalt 60 avec un débit de dose compris entre 0,5 et 0,6 Gy/min selon l'époque de l'expérimentation. La dosimétrie a été effectuée à l'aide d'une chambre d'ionisation de type Baldwin-Ionex. Les souris ont été irradiées par groupes de 30 à l'intérieur d'une boîte en altuglass située à 1 m de la source dans un champ homogène de 30 x 30 cm. Il est important de noter que la source d'irradiation étant une source de Cobalt 60 qui émet des rayons gamma d'énergie déterminée (1,19 et 1,32 Mev), il n'y a pas lieu d'introduire le filtre.

La toxicité a été déterminée par l'évaluation de la dose létale 50%. Il s'agit de toxicités aigues dans tous les cas.

Le pouvoir radioprotecteur a été évalué par le calcul du facteur de réduction de dose (FRD) qui est le rapport de la DL $_{50}$ irradiation/30 jours des animaux ayant reçu la substance testée à celle des animaux témoins. Ces DL $_{50}$ irradiation sont calculées d'après les valeurs des taux de survie obtenus après l'irradiation de lots de 20 souris à différentes doses. La DL $_{50}$ /30 jours de la souche est déterminée tous les 3 mois avec 8 lots irradiés à des doses croissant entre 6 et 9,5 Gy. La DL $_{50}$ était comprise entre 7,7 et 8 Gy aux différentes périodes de l'expérimentation.

Les substances ont été injectées ip 15 min ou 2 h avant l'irradiation, à dose égale à la moitié ou au huitième de leur DL₅₀.

Malgré la détermination régulière de la radiosensibilité de la souche, lors de l'étude toxocologique préalable, un lot de témoins irradiés à la DL₁₀₀/30 jours ne recevant pas de produit testé et un lot de témoins de toxicité sont prévus au cours de chaque séance d'irradiation.

Les témoins d'irradiation sont tous décédés alors que les témoins de toxicités ont tous survécu. Les DL_{50} ont été calculées par la méthode de Karber [13–14].

Références

- Satgé J, Rima G, Fatome M, Sentenac-Roumanou H, Lion C (1989) Eur J Med Chem 24, 48–54
- Voronkov MG, Baryshok VP (1982) J Organometal Chem 239, 199–249
- 3 Khromova N Yu, Gar TK, Mironov VF (1985) Heteroorganic Compounds and their Applications: Review of Germatranes and their Analogs Niitekhim, Moscow
- 4 Voronkov MG (1979) Top Curr Chem 84, 77–135
- 5 Voronkov MG (1969) Pure Appl Chem 19, 399-416
- 6 Tacke R, Wannagat Ú (1979) Top Curr Chem 84, 1–175
- Voronkov MG, Zelchan GI, Lukevics E (1975) Silicon and Life Akademie-Verlag, Berlin
- 8 Gar TK, Mironov VF (1982) Biological Activities of Germanium Compounds (in Russian), Moscow
- 9 Mironov VF (1989) Main Group Metal Chem 13, 355
- 10 Lesbre M, Mazerolles P, Satgé J (1973) The Organic Compounds of Germanium John Wiley Sons, NY, 701 p
- Tacke R, Linoh M (1989) Biorganosilicon Chemistry. In: The Chemistry of Organic Silicon Compounds (Pataï S, Rappoport Z, eds) J Wiley & Sons vol 2, 1143–1206
- Satgé J, Cazes A, Bouchaut M, Fatome M, Sentenac-Roumanou H, Lion C (1982) Eur J Med Chem 17, 433–436
- 13 Kimbal AW, Burnett WT, Doherty DG (1957) Radiat Res 7, 1-17
- 14 Oiry J, Pue JY, Imbach JL, Fatome M, Sentenac-Roumanou H, Lion C (1986) J Med Chem 29, 2217–2225